X線分析研究懇談会 第266例会 あいち産業科学技術総合センター I階 講習会室A 2019年1月22日(水) 13:30-14:00

通常光源とシンクロトロン光源を 用いた粉末X線回折

井田隆





名古屋工業大学 先進セラミックス研究センター 科学技術交流財団 あいちシンクロトロン光センター



ICDD Regional Co-Chair of Eastern Pacific Rim & Director at Large



Committee member, Commission on Powder Diffraction, IUCr



内容

- 粉末X線回折
 歴史, ICDD, 用途
- 2. 実験データの確率論的な解釈 ベイズ推定・最大事後確率推定・最尤推定,最小二乗法, 最尤推定結晶構造解析
- 3. シンクロトロン光を利用した粉末回折
- 4. AichiSR の粉末回折実験施設 シンクロトロン光と二次元検出器の利用
- 5. 実験室での一次元検出器の利用
 - 一次元検出器の利用、収差モデル、逆畳み込み・畳み込み処理

1. 粉末X線回折

粉末X線回折の歴史

1895年 Röntgen, X線の発見

1912年 Laue, X 線回折の発見

1912年 Bragg & Bragg, ブラッグの法則

1915年 Debye & Scherrer, 粉末回折法

1916年 Hull, 粉末回折法



P. Debye







細かい粉末を試料として使うと,

「同じ物質なら必ず同じ回折強度図形が得られる」

1936年 Hanawalt & Rinn, 粉末回折による同定/定性分析

1941年 粉末回折法による**化学分析**のための合同委員会 Powder Diffraction File™ (PDF)





D. Hanawalt

1969年 粉末回折標準に関する合同委員会

= Joint Committee on Powder Diffraction Standards (JCPDS)

1978年 国際回折データセンター

= International Centre for Diffraction Data (ICDD)

国際回折データセンター ICDD

粉末回折データの収集・編集・販売

Regional Co-chairs:





People's Republic of China United
Kingdom
& Ireland

Eastern Pacific Rim

South America

India

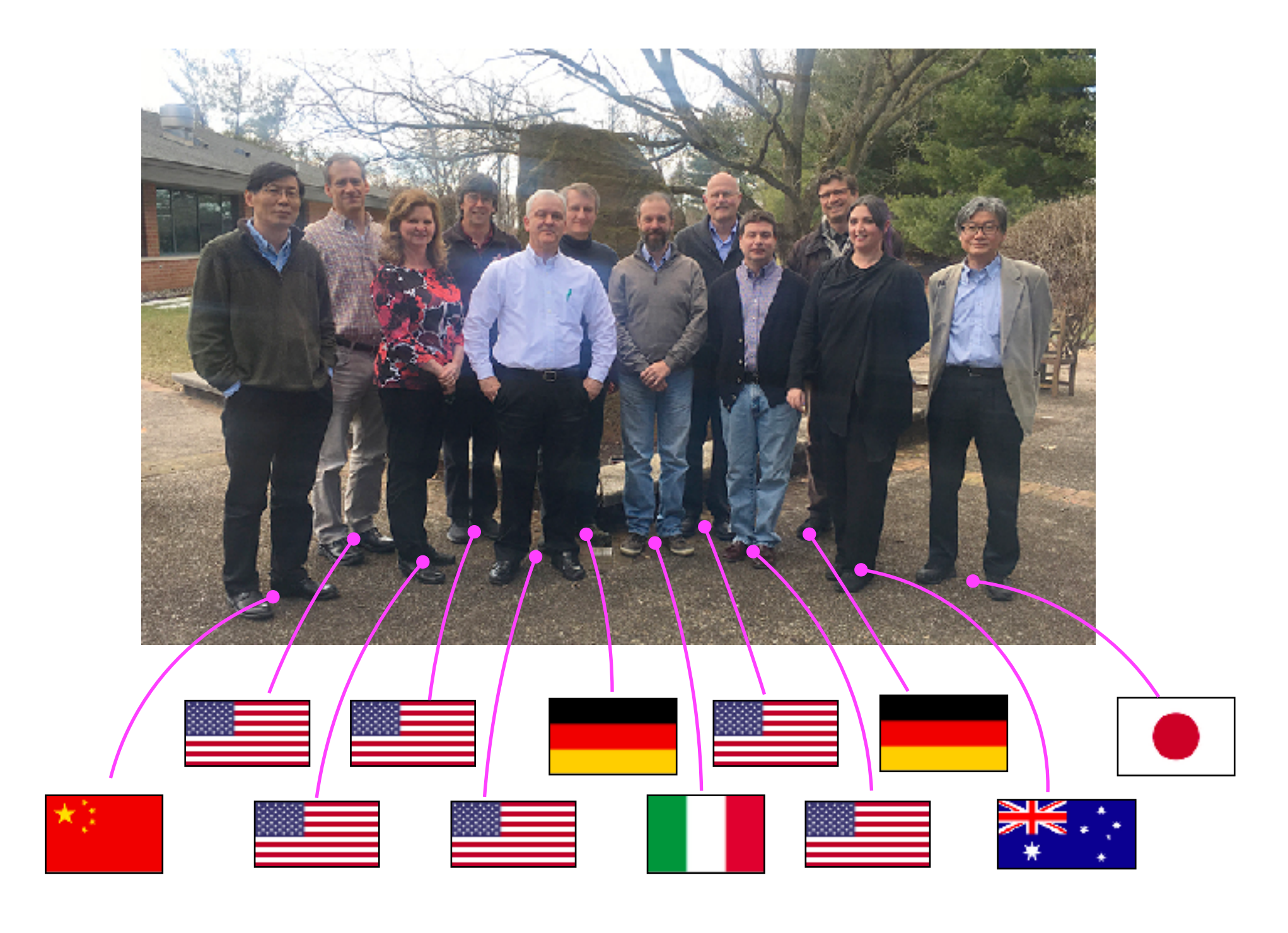
Indian Ocean Rim

North America

European Community NIS (Newly Independent States)

国際回折データセンター ICDD

Board of Directors (2018-2020):



粉末X線回折の用途

測定対象(2009年 ICDD ユーザー調査;複数回答可)

I位: mineral 63%, 2位: metal & alloy 57%, 3位: ceramics 55%,

4位: electronic material 34%, 4位: catalyst 34%, 6位: energy material 32%,

7位: corrosion 29%, 8位: optical materials 24%, 9位: pharmaceutical 18%,

10位:forensic 9%

粉末X線回折の目的(2006年 ICDD ユーザー調査;複数回答可)

相同定(定性分析) 95%

定量分析 結晶化度評価 結晶子サイズ評価 多形スクリーニング 結晶構造解析

2. 実験データの確率論的な解釈

ベイズ推定 Bayesian inference

条件付き確率 conditional probability: A が起こったとき B が起こる確率

日本の高校数学では $P_{\scriptscriptstyle A}(B)$ と書くが, $P(B \mid A)$ と書くのが主流。

同時確率 joint probability: A も B も起こる確率

日本の高校数学では $P(A \cap B)$ とも書かれるが、P(A,B) と書くのが主流。

$$P(A,B) = P(B \mid A)P(A) = P(A \mid B)P(B)$$
 ← 高校数学で習うこと

$$P(A|B) = \frac{P(B|A)P(A)}{P(B)}$$
 ← ベイズの定理 Bayes's theorem

$$P(B) = \sum_{A} P(A,B) = \sum_{A} P(B \mid A) P(A)$$

ベイズ推定では

P(A):事前確率 prior probability P(A | B):事後確率 posterior probability

P(B|A):尤度関数 likelihood function P(B):エビデンス evidence

という語に対応づけられる。

ベイズ推定 (ベイズ型の粉末構造推定)

- A 仮説(構造モデル+装置モデル)
- B データ (粉末X線回折実験の結果)
- P(A) 事前確率 →「仮説の確率的な表現」
 実験の前に予想された確率。初回は一様分布が仮定される。
 2回目以降は前回の学習・実験で得られた事後確率を用いる。

$P(B \mid A)$ 尤度関数

仮説(モデル) A に基づき実験結果 B の

出現確率を予測する理論・筋道 ← これが要点

「知りたいこと」:

 $P(A \mid B)$ 事後確率 \rightarrow 「実験結果 B に基づいて修正された

『仮説(構造モデル)の確率的な表現』」

ベイズ定理を使って**事後確率**を求めるには P(A)と P(B|A) があれば良い。

$$P(A|B) = \frac{P(B|A)P(A)}{P(B)} \qquad P(B) = \sum_{A} P(B|A)P(A)$$

ベイズ型の推論の特徴

事前確率は主観確率とも呼ばれ「先入観」「勝手な思い込み」でも良い。経験・実験を繰り返すたびに、仮説の正しさを評価し直す(ベイズ改訂 Bayesian update)。 最尤推定法では常に一様事前分布の仮定を強制され、過去の経験が全く活かされない。最小二乗法も同じ。

ベイズ推定では、複数の仮説を常に保持し、

しんじつ

「真実はいつもひとつ!!」としない。



1. 利点

- ◆ 複数回実験から得られる情報をすべて活用できる。
- ◆ 例えば「モデル a が一番もっともらしい」というだけでなく「モデル a の正しい 確率が 95 % 以上,他のモデル b, c, ... の正しい確率が 5 % 以下」のような情報が 得られる。

く例題>「モデル a が正しくそれを採用すれば 10 円儲かり,正しくないのにそれを採用したら 100 円損をする」状況とする。

1. 利点

- ◆ 複数回実験から得られる情報をすべて活用できる。
- ◆ 例えば「モデル a が一番もっともらしい」というだけでなく「モデル a の正しい 確率が 95 % 以上,他のモデル b, c, … の正しい確率が 5 % 以下」のような情報が 得られる。

< 例題 > 「モデル a が正しくそれを採用すれば 10 円儲かり, 正しくないのに それを採用したら 100 円損をする」状況とする。

「モデル a の正しい確率が 95 % 以上」→ モデル a を採用する動機になる。

「モデル a が一番もっともらしい」→ モデル a を採用する動機にならない。

1. 利点

◆ <u>複数回実験</u>から得られる情報<u>をすべて活田できる</u>

◆ 例えば「モデル a が一番もっ 確率が 95%以上、他のモデル 得られる。

正しい確率 95% のときの期待値: $+10 \times 0.95 - 100 \times 0.05 = +4.5 (P)$

デル a の正しい

それを採用したら 100 円損をする」状況とする。

<例題>「モデル a が正しくそんを採用すれば IO 円儲かり、正しくないのに

「モデル a の正しい確率が 95% 以上」 \rightarrow モデル a を採用する動機になる。

「モデル a が一番もっともらしい」→ モデル a を採用する動機にならない。

正しい確率 70% のとき期待値: $+10 \times 0.7 - 100 \times 0.3 = -23$ (円)

1. 利点

- ◆ 複数回実験から得られる情報をすべて活用できる。
- ◆ 例えば「モデル a が一番もっともらしい」というだけでなく「モデル a の正しい 確率が 95 % 以上,他のモデル b, c, … の正しい確率が 5 % 以下」のような情報が 得られる。

く例題>「モデル a が正しくそれを採用すれば 10 円儲かり, 正しくないのに それを採用したら 100 円損をする」状況とする。

「モデル a の正しい確率が 95 % 以上」 \rightarrow モデル a を採用する動機になる。「モデル a が一番もっともらしい」 \rightarrow モデル a を採用する動機にならない。

2. 難点

- ◆ パラメトリックな推定の場合、確率モデルが必要。
- ◆ 演算ステップが多くなり、抱え込む情報が膨大になりがち。
- ◆ ベイズ推定に関する論説のほとんどが怪しいw

ベイズ推定・最大事後確率推定・最尤推定

・最小二乗推定

最大事後確率推定 maximum a posteriori (posterior) probability (MAP) estimation

- ◆ 事後確率が最大になるパラメータを選択する。
- ◆ 事前確率は任意。

最尤推定 maximum likelihood estimation

- ◆ 20C 初頭英国の生物統計学者 Fisher により提唱された。
- ◆ 尤度関数が最大になるパラメータを選択する。
- ◆ 一様事前分布を仮定した最大事後確率推定と同じ。

最小二乗推定 least-squares estimation

- ◆ I8C ドイツの数学・物理学・天文学者 Gauss が考案したとされる。
- ◆ 統計誤差が既知な場合の最尤推定とほぼ同じ。



ゅう 最**尤推定結晶構造解析** (Ida & Izumi, 2011)

動機

粉末 X線回折測定の結果に現れる統計変動(繰り返し粉を詰め直して測定し直すと、そのたびごとに結果が変わる)は、粒子統計の影響を強く反映する(Alexander et al. (1948))。試料を細かく粉砕すると良いことは経験的にも知られる。 試料を破壊したくない場合、粉砕コストがバカにならない場合には? 粒が粗く信頼性の低い結果として、どの程度の信頼性ならあるのか? 誤差が事実上未知なので最小二乗法は使えない。

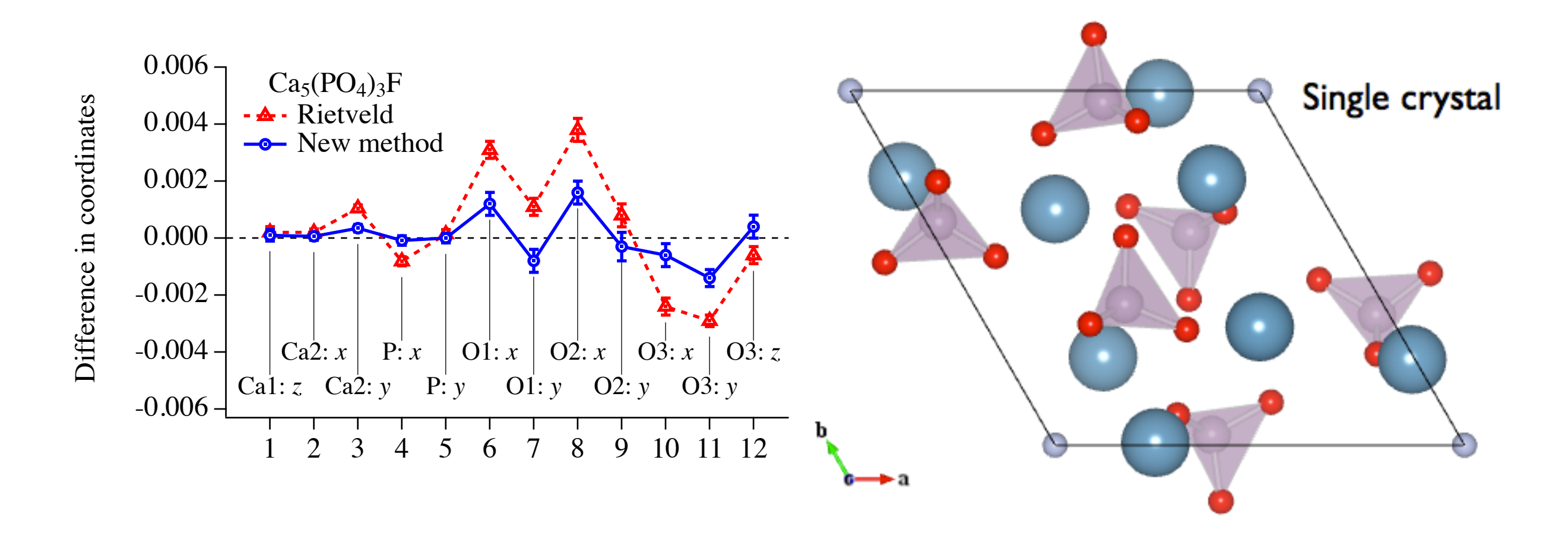
最尤推定なら誤差モデルも最適化できるのか?

方法

RIETAN-FP パッケージ中の example データに対して、想定される誤差要因(粒子統計誤差 Alexander et al., (1948);強度に比例する誤差 Toraya (1998))をパラメータ化した統計モデル(**尤度関数**)を構築し、これを最大化する「最尤推定法」を適用してみた。

最尤推定結晶構造解析

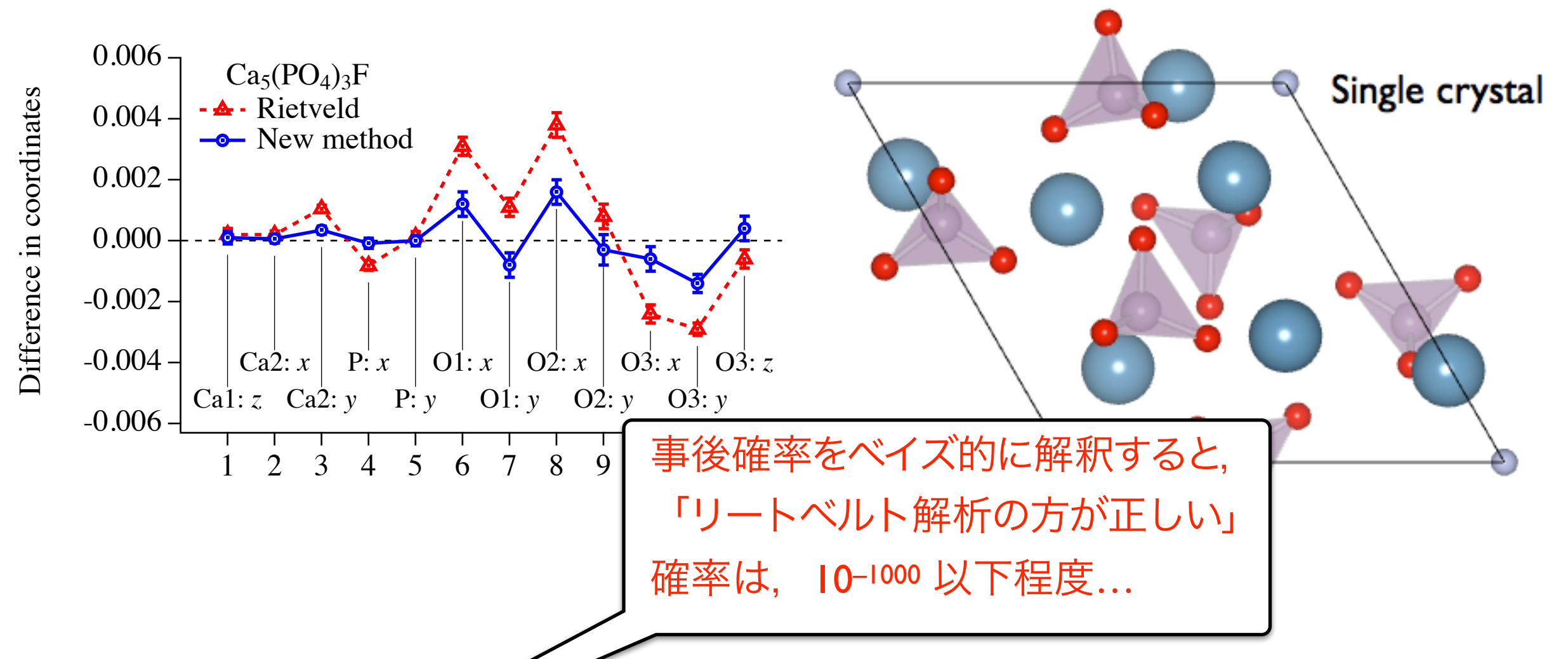
結果 (Ida & Izumi, 2011)



粉末データに「最尤推定構造解析を適用した結果」は同じデータに「平方根誤 差を仮定したリートベルト法を適用した結果」より単結晶データの解析結果の方 に近い。

最尤推定結晶構造解析

結果 (Ida & Izumi, 2011)



粉末データに「最尤世」「「一本」」は同じデータに「平方根誤 差を仮定した」「トベルト法を適用した結果」より単結晶データの解析結果の方 に近い。

最尤推定結晶構造解析

議論

- QI 計算コストは?
- AIリートベルト法(最小二乗法)の数倍以上
- Q2 最適化アルゴリズムは?
- A2 Nelder-Mead 法を使ったが、パウエル系でもモンテカルロ系でも...
- Q3 誤差モデルの正しいことが重要?
- A3 そうかもしれないがそうでもないかもしれない (この時点 (2011) では誤差モデルに不備があった)。
- Q4 ソフトを公開する予定は?
- A4 やや消極的(誤差モデルの不備, 誤用される危険から)。
- Q5 単結晶法の方が粉末法より優れている?
- A5 結晶構造解析が目的なら。

Broyden-Fletcher-Goldfarb-Shanno 法が主流?

> マルコフ連鎖
> Markov chain でも, 擬似焼鈍 simulated annealing でも, 遺伝 的アルゴリズム genetic alghorithm で も ...

最尤推定結晶構造解析が実現されたことの意味

尤度関数(モデル)が導かれたのだとしたら、

ベイズ推定に進むためには「計算すれば良いだけ」。

3. シンクロトロン光を利用した 粉末X線回折

どうしてシンクロトロン光を使うのか?

- X線吸収分光 **XAS** (←白色性)
 - ⇒ 特定元素の周囲の局所構造(触媒など)
- 小角 X 線散乱 SAXS (←高指向性)
 - ⇒ 高分子,微粒子,多孔質,...
- X線蛍光分析 XRF (←偏光, 高輝度)
 - ⇒ 微量元素分析, 微小部分析

粉末X線回折 PXRD (←大強度,高輝度)

- ⇒ 微量試料,迅速測定,高分解能測定(?)
- *実験室回折計に比べて信頼性の高いデータが得られる わけではない。
- *実験も解析もラク。XRD に不慣れな人に向いている。
- *温度制御(その場)実験では迅速測定が有効



ハンドヘルド 蛍光 X 線分析装置



ポータブル X 線回折装置

実験室型装置とシンクロトロン光装置の比較(目安)

項目	実験室型 (OD検出器)	実験室型 (1D検出器)	シンクロトロン (高分解能型)	シンクロトロン (迅速測定型)
測定時間	3 h ~ 12 h (*) 12 h ~ 48 h (**)	5 min ~ I h (*) 3 h ~ I2 h (**)	5 ~ 12 h	3 ~ 20 min
試料の 目安量	0.1 ~ 0.5 g	0.1 ~ 0.5 g (***)	0.1 ~ 0.5 g (***) 5 ~ 20 mg (****)	I ~ 10 mg
角度 分解能	~0.1°	~0.1°	0.01°~0.02°	0.01°~0.07°
バックグ ラウンド		× (*) ^(**)	\triangle	×

^(*) 分光器なし、(**) 分光器あり

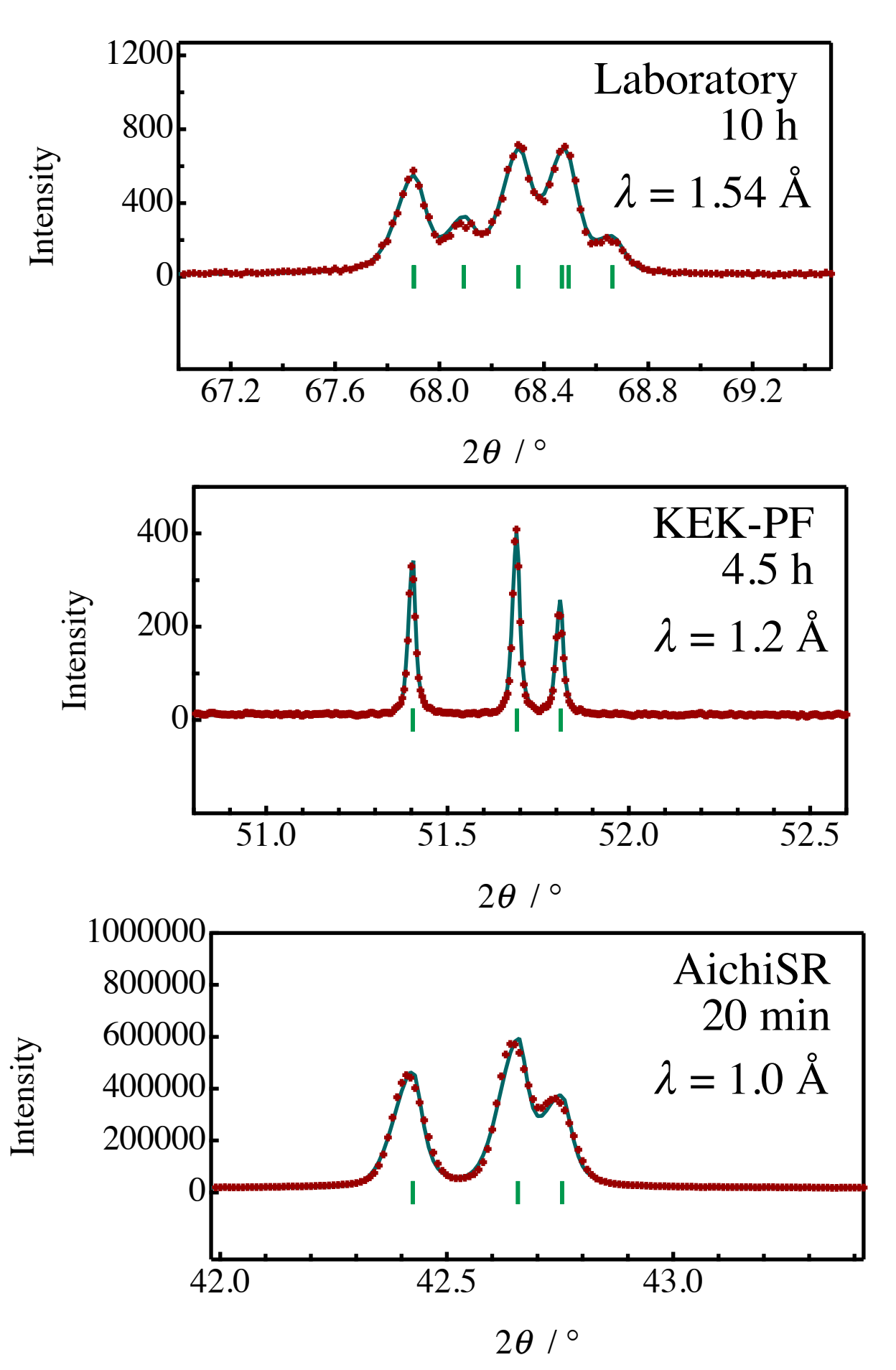
(***) 平板反射法, (****) キャピラリ透過法

実験室装置と シンクロトロン装置 の比較

α-石英の五重線

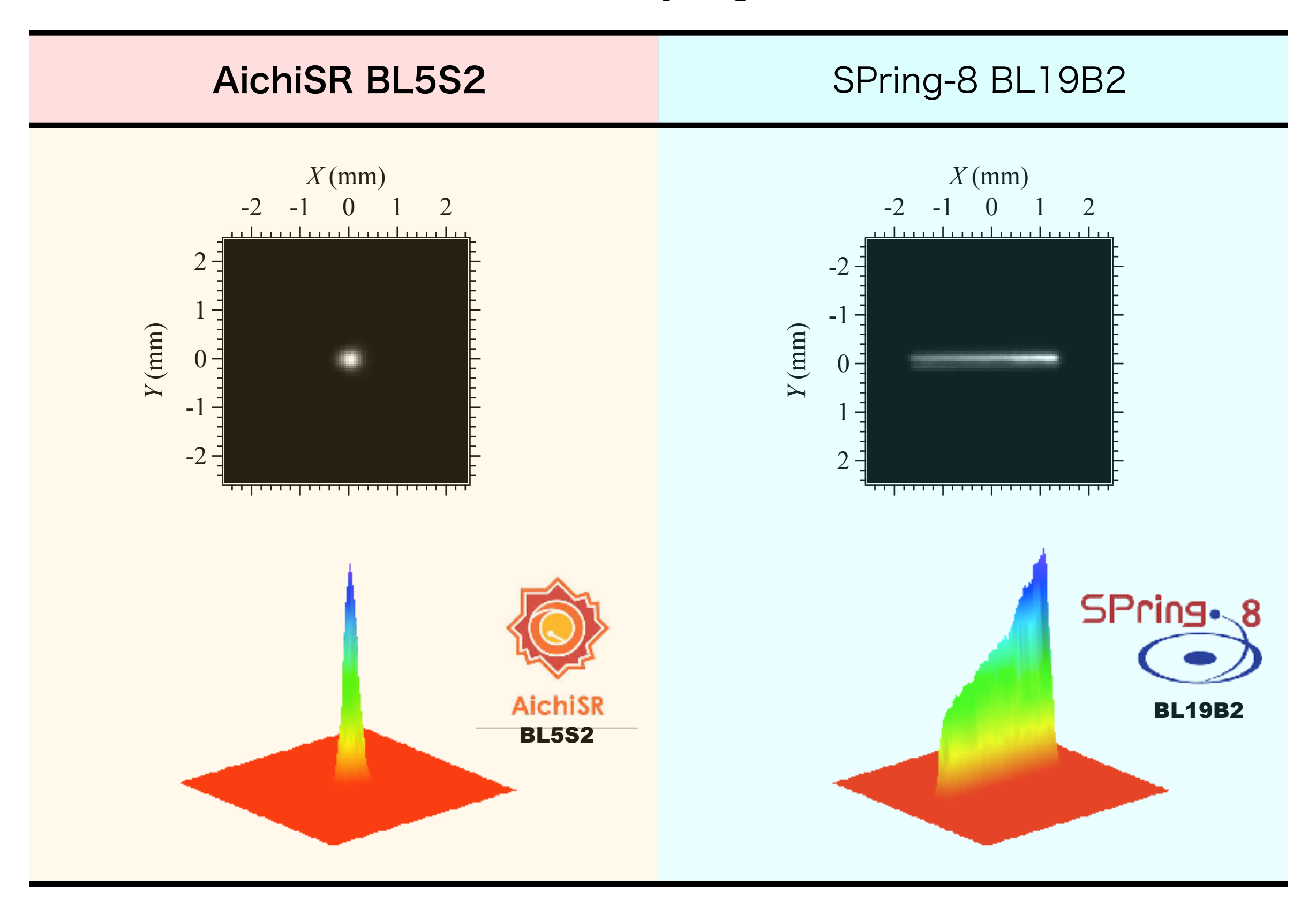
もっともありふれた 鉱物 α-石英 (quartz) の 212, 203, 301-反射を実験室 CuKα線源で測定した図形は 五重線 quintuplet と呼ばれる。

昔はシンクロトロン装置を 使う動機になったが, 一次元検出器が普及して 様子が変わっている。

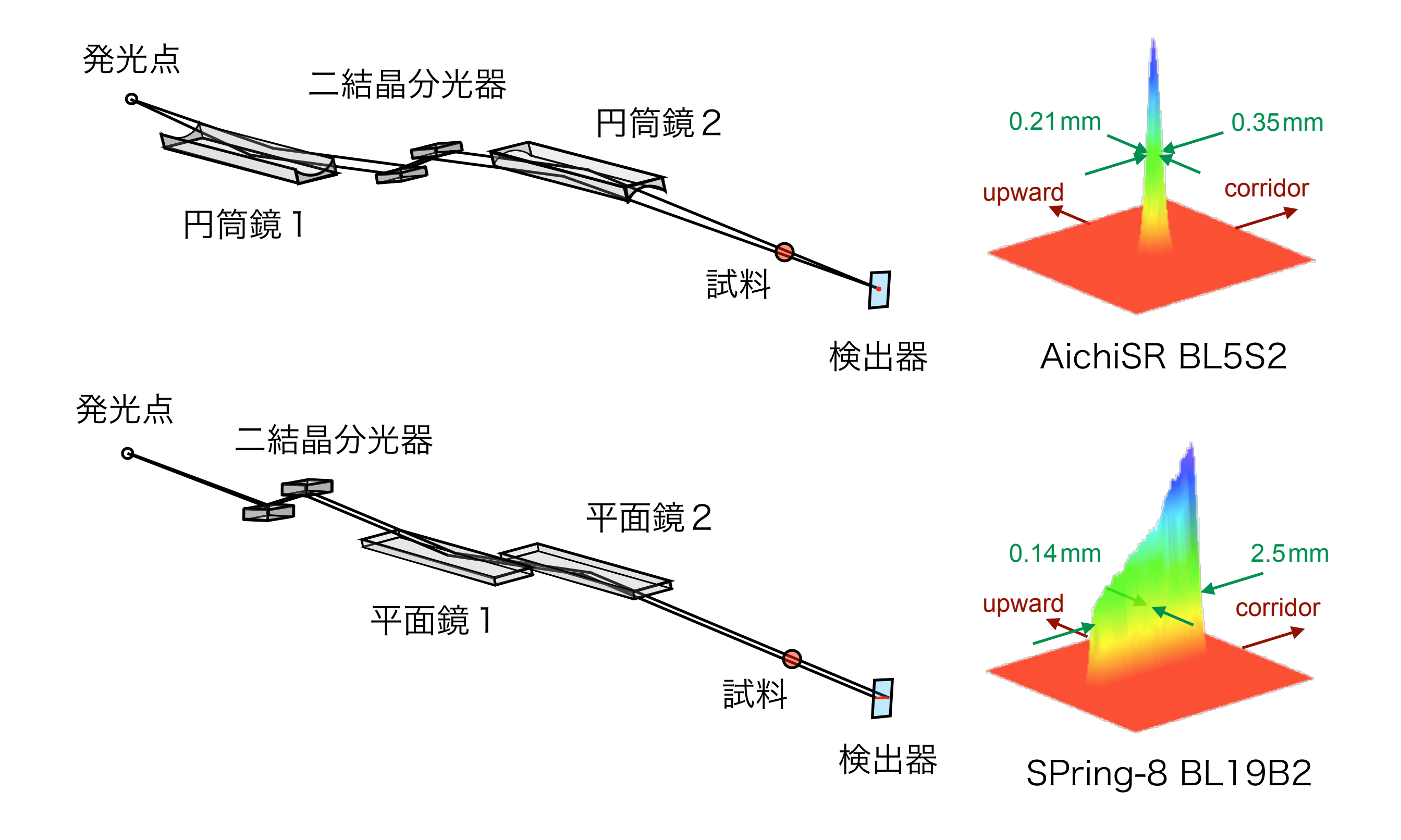


4. あいちシンクロトロン AichiSR 粉末回折ビームライン BL5S2
 DENSO 社占有 XAS, XRD タンデム型ビームライン BL2S3
 (シンクロトロンと二次元検出器利用)

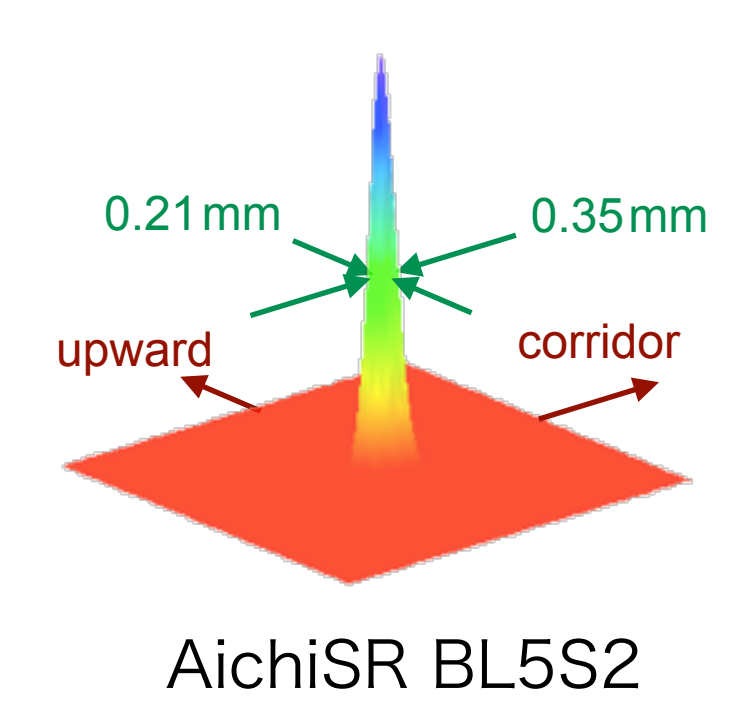
光源 産業利用 AichiSR BL5S2 と Spring-8 BL19B2

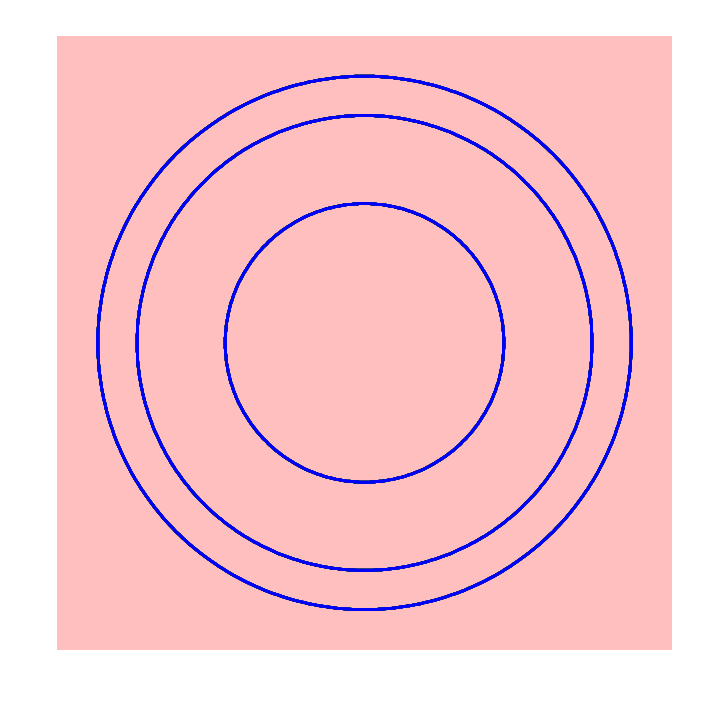


光源 集光ビームと平行ビーム 分光器と集光鏡



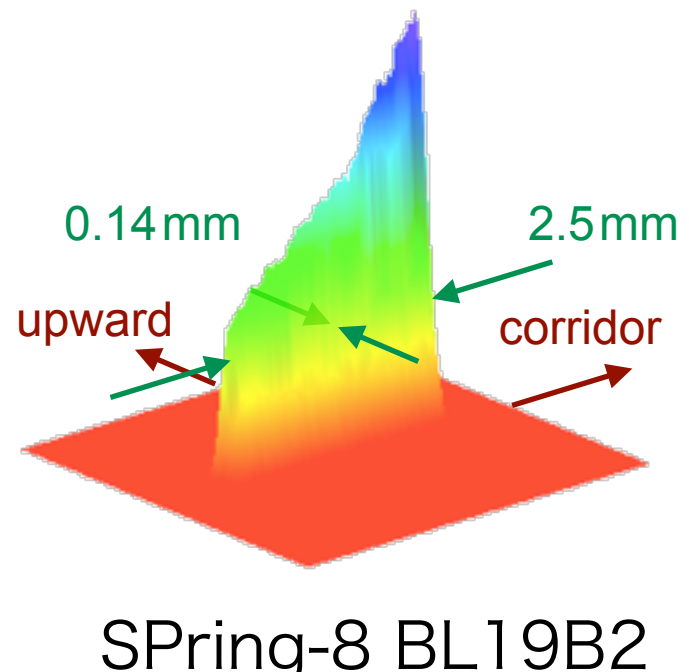
光源 ビーム断面強度分布と予想される粉末回折図形



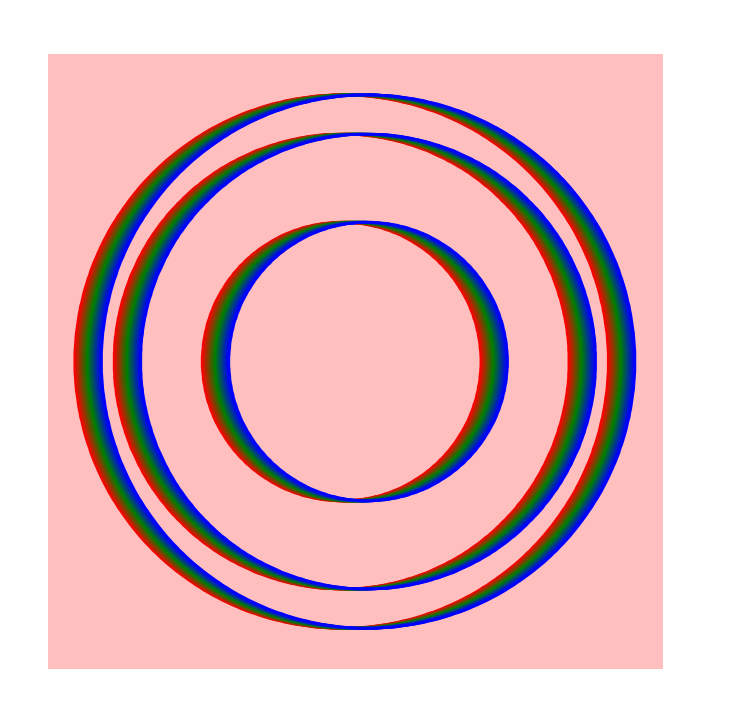


子午線上以外の場所 でも回折環の太さが あまり変わらない。 低角度反射でも問題 ない。

二次元検出器が有効



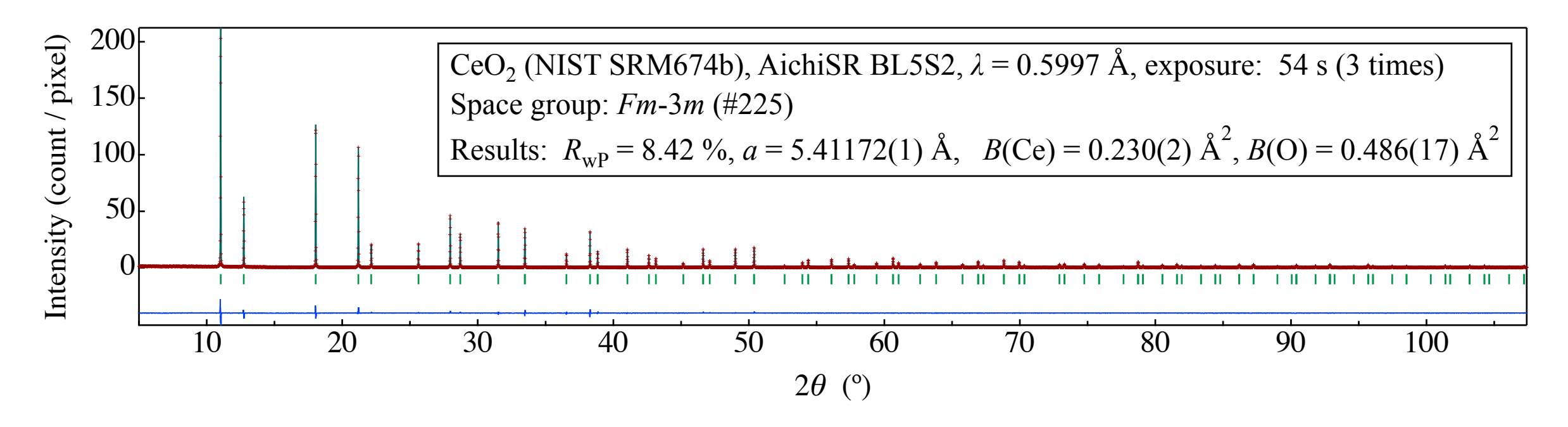




子午線上で細い。低 角度反射では少し太 くなりピーク形状が 歪む。

一次元検出器が有効

AichiSR BL5S2 測定・解析例



試料:CeO₂ (NIST SRM674b) 0.1 mmφ キャピラリ,

測定条件:λ = 0.5997 Å, カメラ長 340 mm, 54 s 露光 3 セット

解析:RIETAN-FP (Izumi & Momma, 2007), 定数ピークシフト -0.0045(8)°,

半値幅 50 倍カットオフ、10 次多項式バックグラウンド、

<u>対称擬フォークト関数</u>, 線幅 Caglioti et al. (1958) モデル, 中性原子散乱因子, 等方性原子変位

結果:R_{WP} = 8.42 %, R_P = 6.41 %, R_B = 2.68 %, S = 1.15, a = 5.41172(1) Å(参考值 5.41165(6) Å), B(Ce) = 0.230(2) Å², B(O) = 0.486(17) Å²

二次元検出器の利用

粉末X線回折 BL で二次元X線検出器利用の有効性が明確なのは,

AichiSR BL5S2 粉末回折ビームライン(公開, 有料, 企業利用で混雑) Dectris, PILATUS-100K (0.174 mm/pixel) 4連装

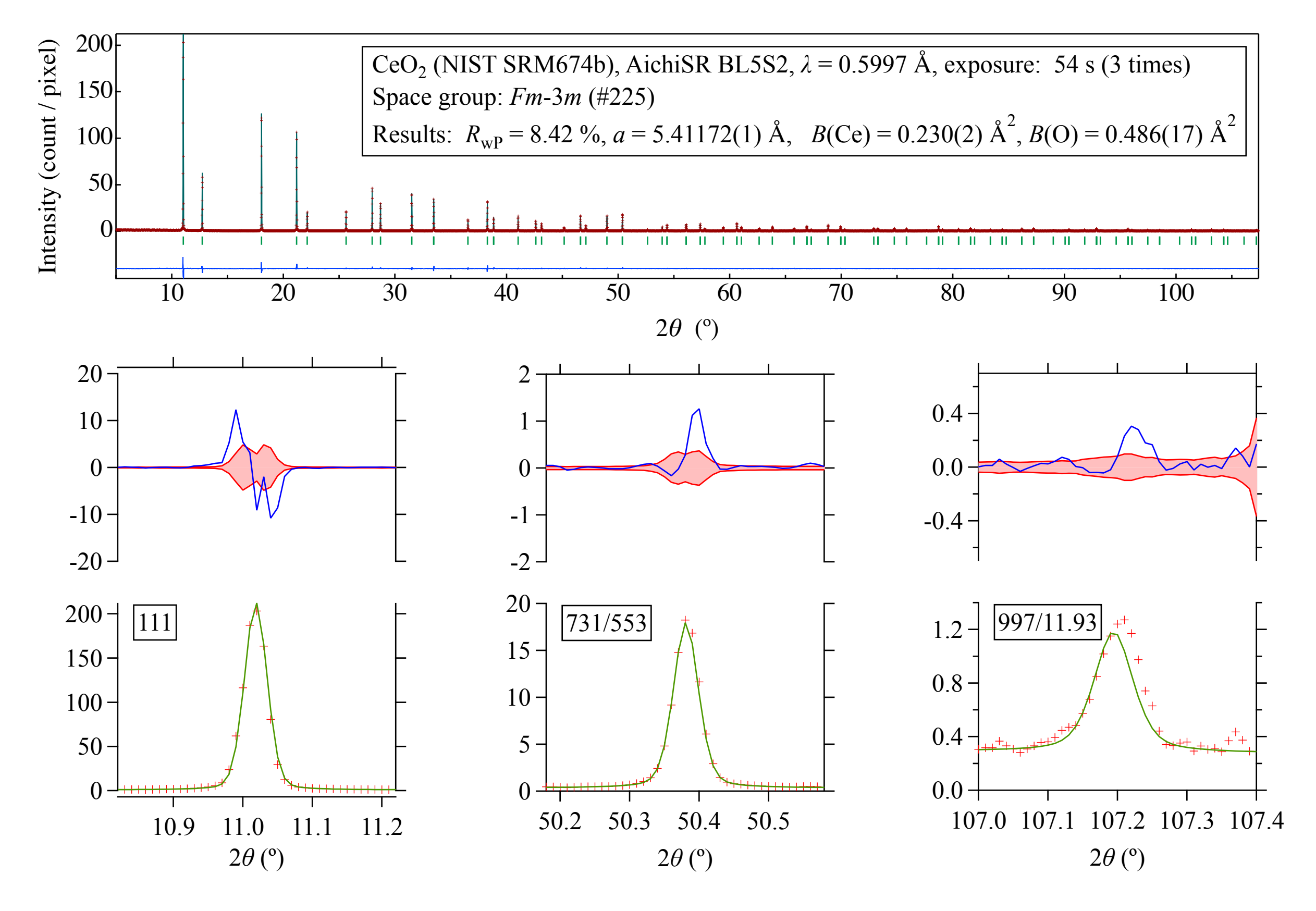
AichiSR BL2S3 企業専用ビームライン (XAS, XRD タンデム構成)(非公開) Rigaku HyPix-3000 (0.100 mm/pixel) ¹基

二次元検出器を使えば回折環に沿った強度の平均と、強度変動(分散)が容易に見積もられる。強度変動には「計数統計誤差」「粒子統計誤差」「20 誤差伝播」 (Ida, 2013) の全てが含まれる。

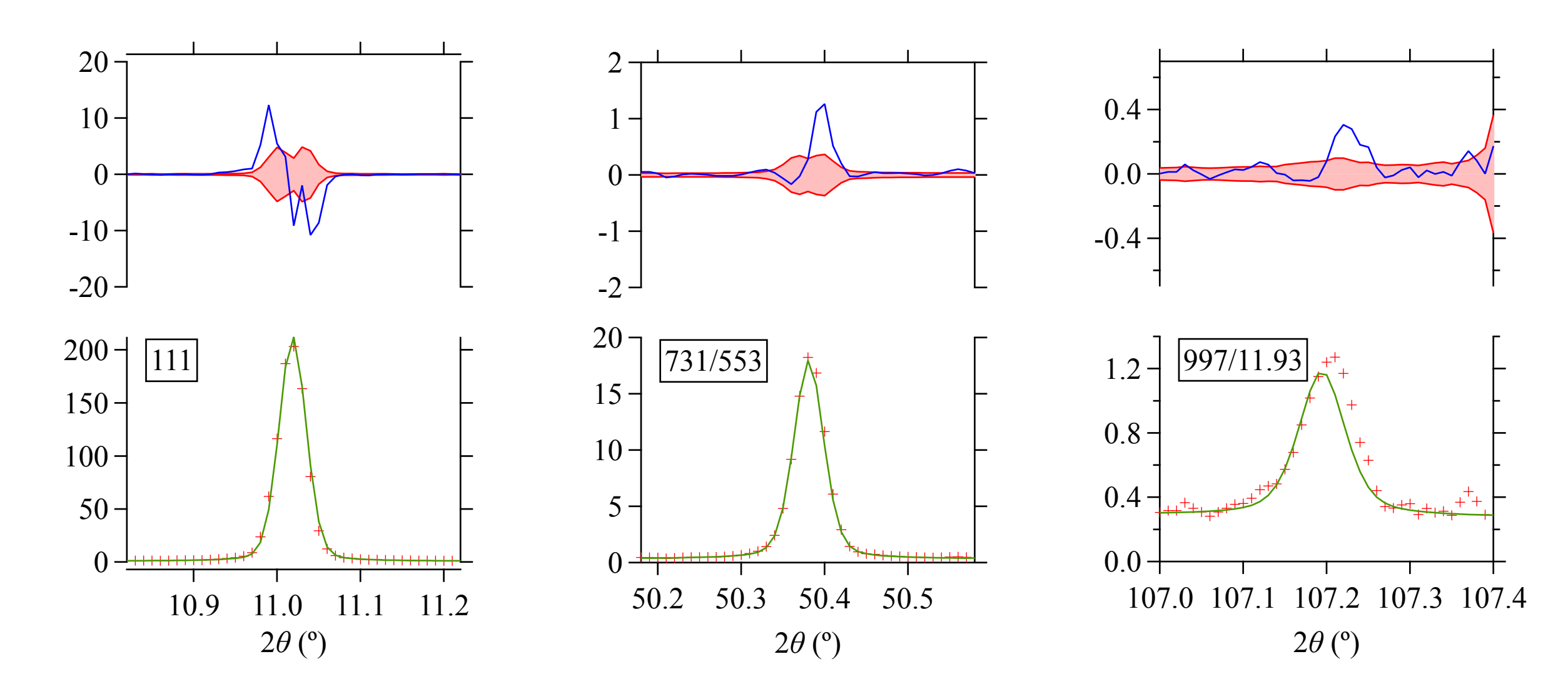
「実験的に誤差評価が可能」な世界で初めてのシンクロトロン粉末回折システム

- → リートベルト法 (最小二乗法)でも最尤構造推定が可能? (「一番もっともらしい構造を導く」ことは意図しなかったけれど…)
- → 最適化計算による**格子定数**や**原子座標**の値の**誤差**を評価することが可能。 (これには「どれくらい信頼できる値か」という意味がある)

AichiSR BL5S2 測定・解析例



AichiSR BL5S2 測定・解析例



ほぼ左右対称なピーク形状

→ 実質的に装置収差が存在しない。

誤差が見積もられているらしいということは?

→ 最小二乗法(リートベルト法)でも最尤推定構造解析ができる。

5. 実験室での一次元検出器の利用

一次元検出器の利用



封入管X線源



PANAlytical X'Celeator 75 µm, 128 strips



Bruker LINXEYE 75 µm, 192 strips

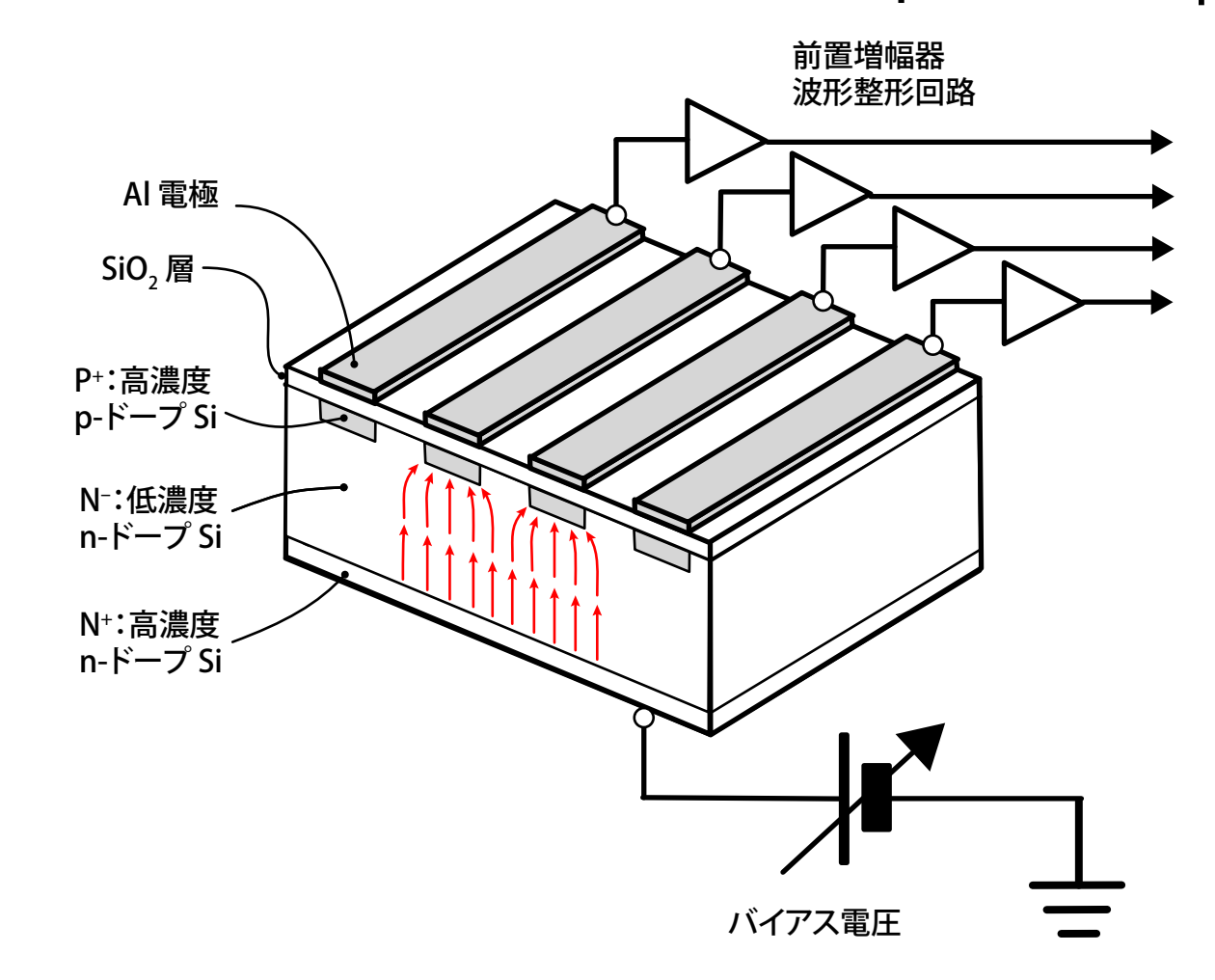


Rigaku D/teX Ultra 250 75 µm, 256 strips

実験室の粉末X線回折装置では

Cu Kα 封入管,一次元 Si ストリップ検出器構成として,**Ni**フィルタも使える組み合わせにするのがオススメ。

回折光学素子を使うとピーク形 状が崩れ、強度の狂う傾向があ るので、定性分析用途以外では 勧められない。



一次元検出器利用のメリットとデメリット

利点

ゼロ次元検出器の 100 倍程度以上速く測定できる。

連続走査でストリップごとの積算をする走査法 (リガク社は Time Delay Integration; TDI 法と呼ぶ)を用いれば「粒子統計誤差」が抑制される(回折に寄与する結晶粒子の数も 100 倍程度以上になる)。

エネルギー分解により蛍光によるバックグラウンドを低減できる場合がある。 Ni フィルタを用いれば、ピーク形状が崩れないので $K\alpha_2$ ピークの除去が容易。装置収差によるピーク形状の変形やピークシフトを自動的に修正できる。弱い Cu $K\beta$ ピークや Ni K-吸収端構造の除去も容易。

難点

ゼロ次元検出器+アナライザと比較するとバックグラウンドは高めになる。 積算前の数値データが提供されるなら「実験的な誤差評価」もできそうなのに、 提供されなさそう。

一次元検出器 + Ni フィルタ + Cu Kα 線源で 測定したデータの処理

方法

現実的な分光形状モデルと,正確な装置収差モデルを用いて,逆畳み込み-畳み込み処理を施す (Ida et al., 2018a, 2018b, 2018c)。

測定

産業技術総合研究所中部センター *AIST* に設置された

PANalytical X'Pert Pro システム

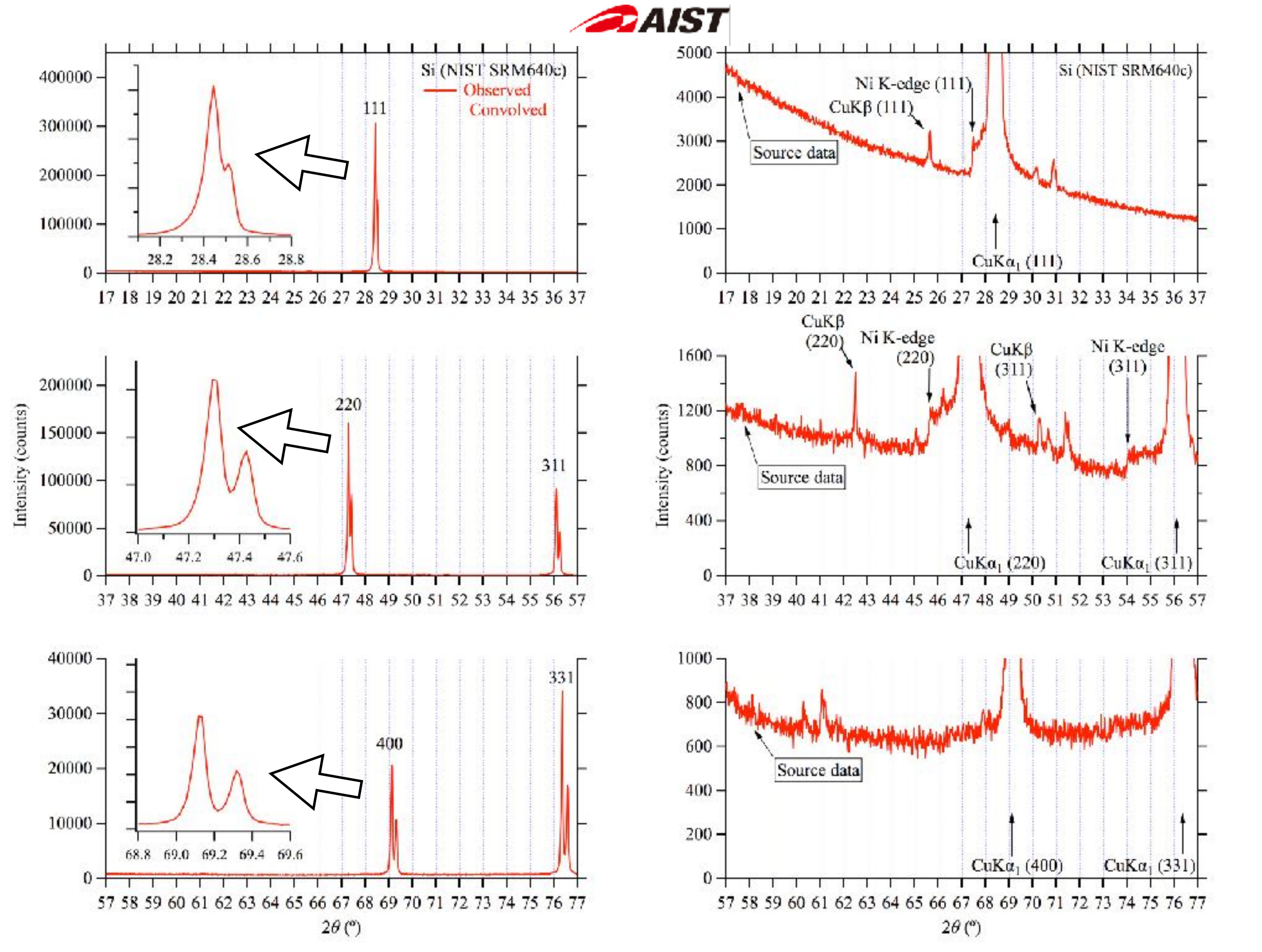
X線管球:PANalytical EMPYREAN TUBE 9430-033-7310, 45 kV, 40 mA

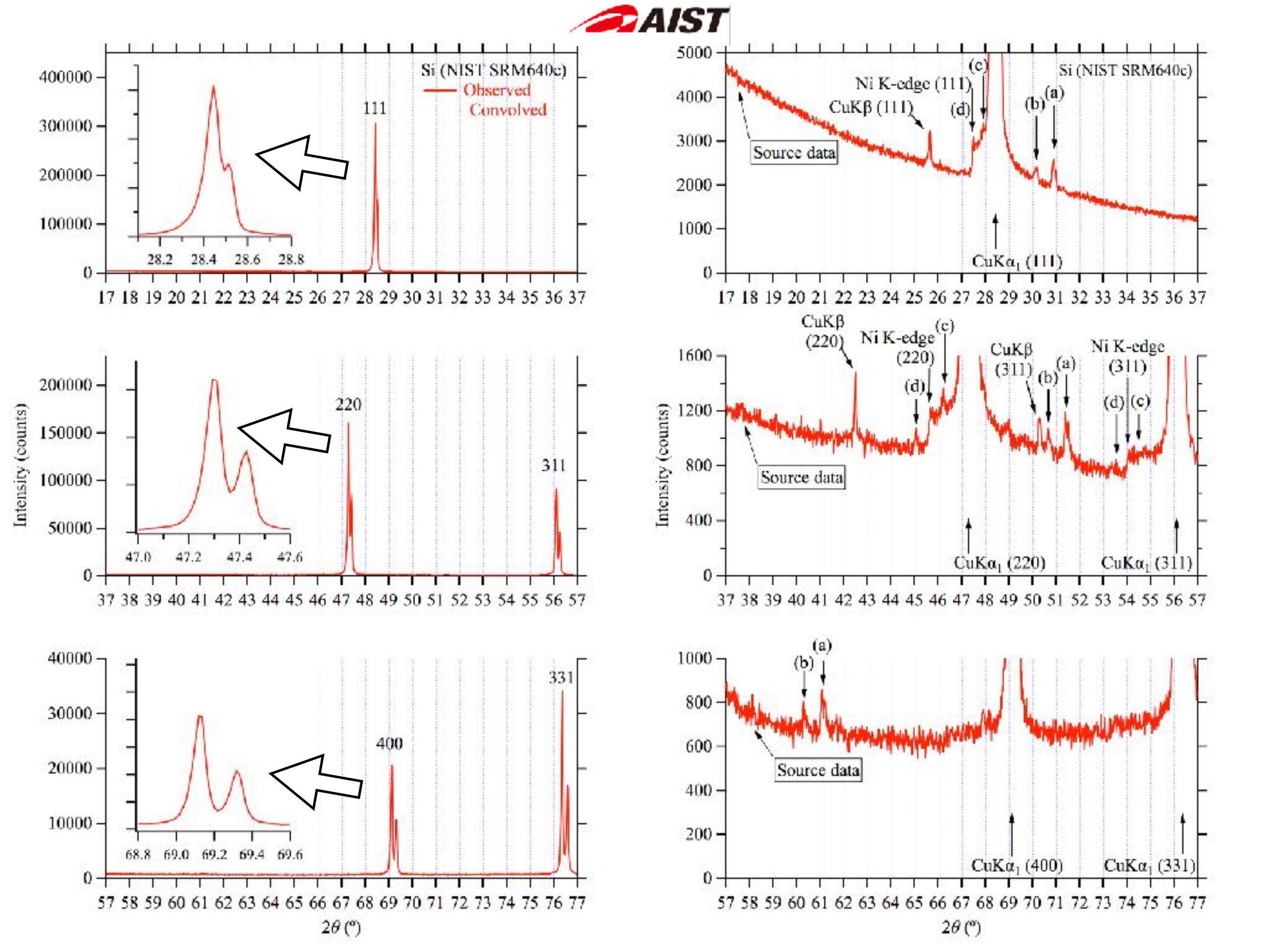
Ni フィルタ: 0.02 mm 厚

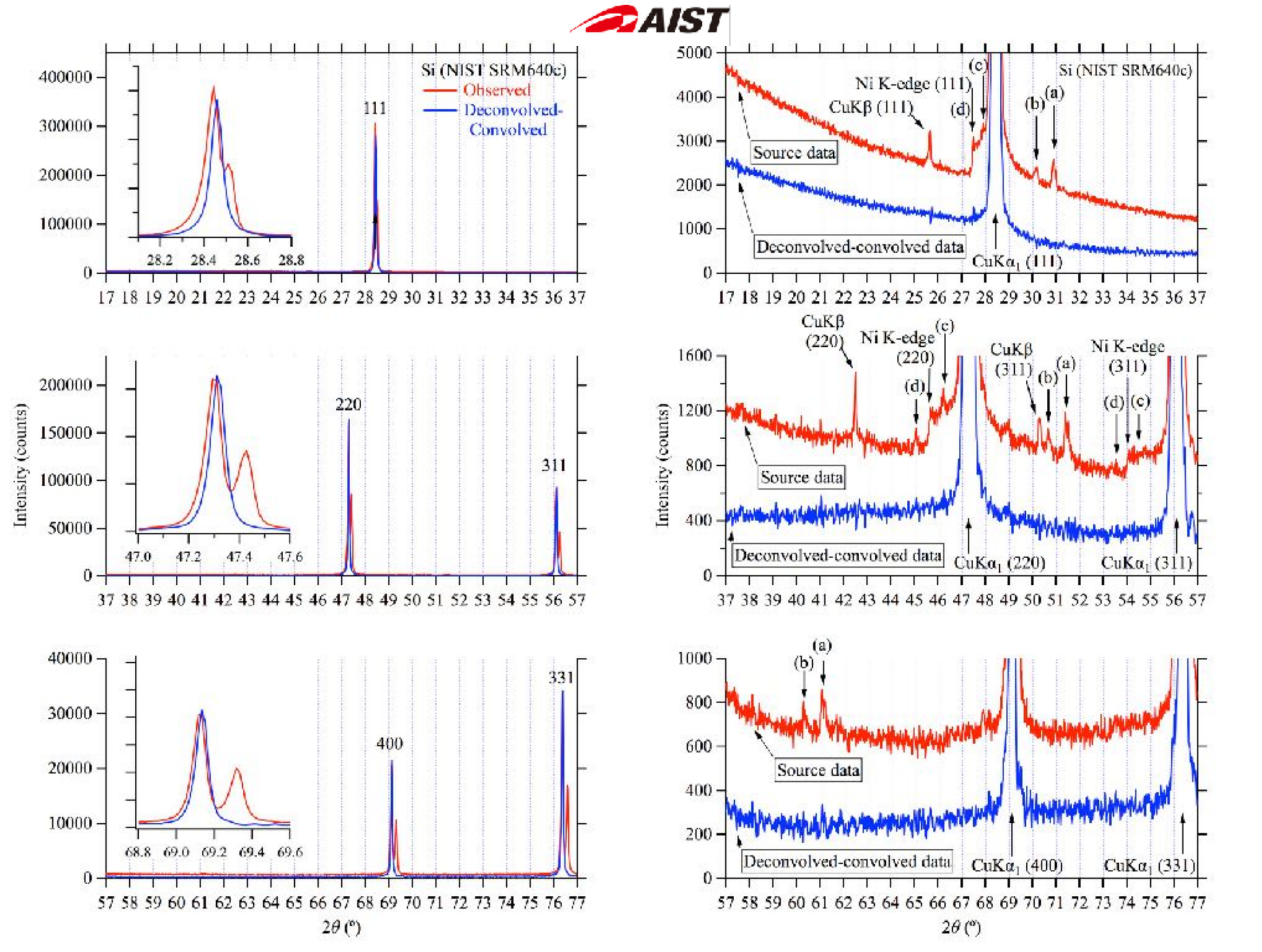
ソーラースリット: 0.04 rad

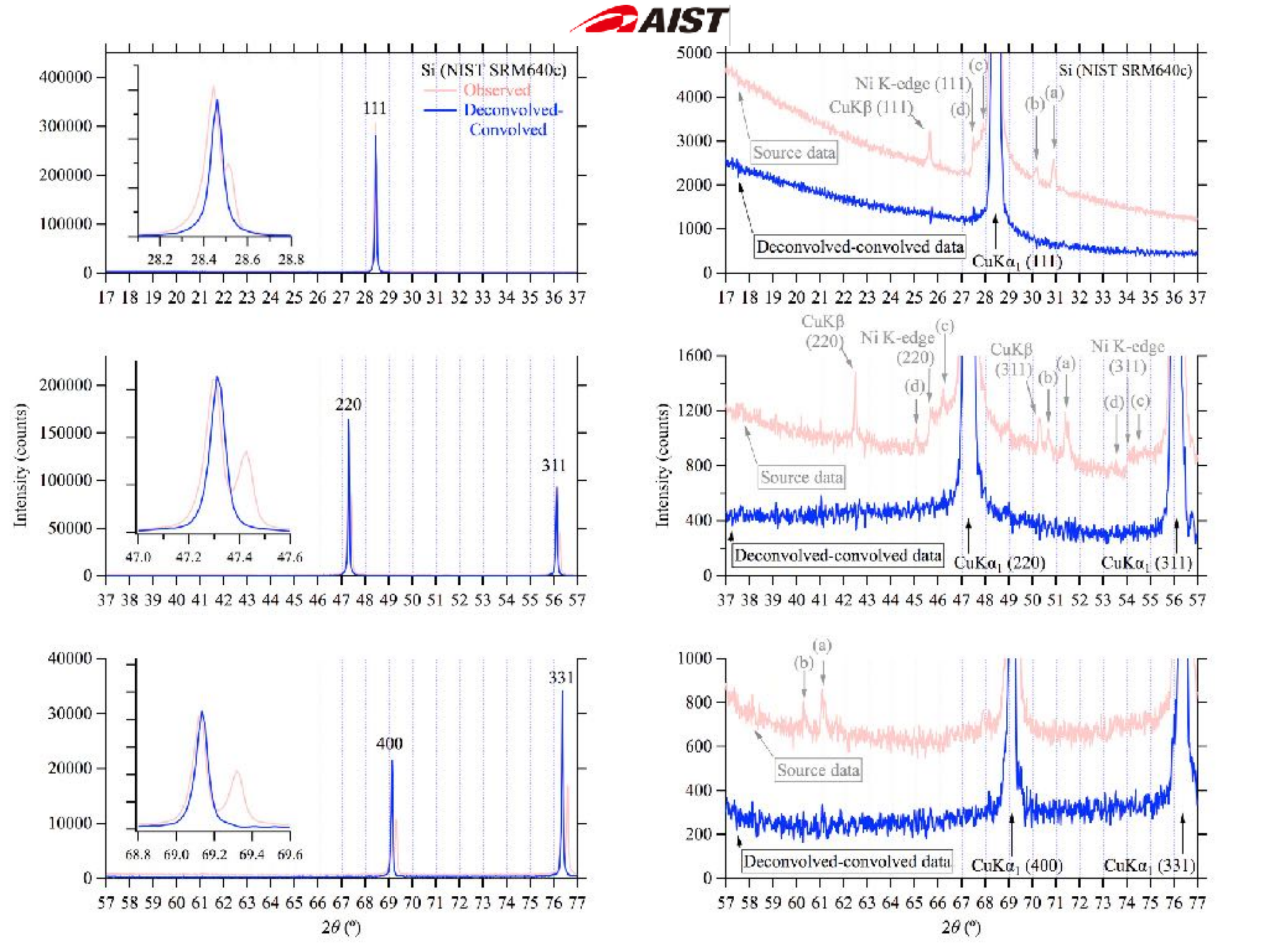
一次元検出器:PANalytical X'Celerator, カメラ長 240 mm

を用いた。









実験室型粉末X線回折装置の収差モデル

一次元検出器と Ni フィルタ, CuK α 線源の組み合わせなら, ほぼ先験的に(実験しなくてもわかる)解析幾何学的な手法で, 満足のいく回折装置のモデル化が完了している (Ida et al., 2018a, 2018b)。 X線管球の汚染による寄生ピークは, 一部実験的な方法でパラメータを求めれば除去できる (Ida et al., 2018c)。

- → 装置収差によるピークシフトと変形は自動的に修正できる。
- → 物理的な意味を持たない非対称ピーク形状モデルやピークシフトモデル などを使わずにすむ。

実験室型粉末X線回折装置の収差モデル

X線源の分光強度分布

対数正弦スケール: $\chi_X \equiv \ln \sin \theta = \ln \frac{\lambda}{\lambda_0}$ では畳み込みとして表現される。

軸発散収差

$$\omega_{A}(\Delta 2\theta) \simeq \frac{1}{\Psi^{2}} \int_{-\Psi}^{\Psi} \int_{-\Psi}^{\Psi} \delta \left(\Delta 2\theta + \frac{(\alpha - \beta)^{2}}{4 \tan \theta} - \frac{(\alpha + \beta)^{2}}{4 \cot \theta} \right) \left(1 - \frac{|\alpha|}{\Psi} \right) \left(1 - \frac{|\beta|}{\Psi} \right) d\alpha d\beta$$

対数正弦・正割複合型スケール (Ida et al. 2018b): $\chi_{\pm} = \pm \frac{\ln[1 + \beta \mp (1 - \beta)\cos 2\theta]}{1 - \beta}$ を用いれば二重の畳み込みとして近似できる。 $\beta = \frac{71 - 14\sqrt{22}}{27}$

平板試料収差

対数正割スケール: $\chi_{FS} \equiv -\ln \cos \theta$ で畳み込みとして表現される。

試料透過性収差

(条件つきで) 対数正接スケール: $\chi_T \equiv \ln \tan \theta$ で畳み込みとして表現される。

「逆畳み込み・畳み込み」処理

1. 偽ピーク・汚染ピークの除去

「現実的な分光強度形状」に関する「逆畳み込み」処理と、

「仮想的な左右対称・単一ピーク形状」に関する「畳み込み」処理を 同時に施せば、光源由来の背景強度の飛び、偽ピーク・汚染ピークの除去が できる。

2. 装置収差によるピーク位置シフトの補正と非対称な変形の修整

「装置収差関数モデル」に関する「逆畳み込み」処理と、

「対称化した装置収差関数モデル」に関する「畳み込み」処理を 同時に施せば、位置シフトと非対称な変形を除去できる。

奇数次キュムラントがゼロになり、偶数次キュムラントは不変。

1次・3次キュムラントのみ正確な近似モデルでも有効。

文献

- Alexander, L., Klug, H. P. & Kummer, E. (1948). "Statistical factors affecting the intensity of x-rays diffracted by crystalline powders," J. Appl. Phys. 19, 742–253.
- De Wolff, P. M. (1958). "Particle statistics in x-ray diffractometry," Appl. Sci. Res. B 7, 102–112.
- Ida, T. (2013). "Powder x-ray structure refinement applying a theory for particle statistics," *Solid State Phenomena*, **203–204**, 3–8.
- Ida, T. (2016). "Experimental estimation of uncertainties in powder diffraction intensities with a two-dimensional x-ray detector," *Powder Diffr.* **31**, 216–222.
- Ida, T. & Izumi, F. (2011). "Application of a theory for particle statistics to structure refinement from powder diffraction data," J. Appl. Cryst. 44, 921–927.
- Ida, T., Ono, S., Hattan, D., Yoshida, T., Takatsu, Y. & Nomura, K. (2018a). "Deconvolution-convolution treatment on powder diffraction data collected with Cu Kα x-ray and Ni Kβ filter," *Powder Diffr.* **33**, 80–87.
- Ida, T., Ono, S., Hattan, D., Yoshida, T., Takatsu, Y. & Nomura, K. (2018b). "Improvement of deconvolution-convolution treatment of axial-divergence aberration in Bragg-Brentano geometry," *Powder Diffr.* **33**, 121–133.
- Ida, T., Ono, S., Hattan, D., Yoshida, T., Takatsu, Y. & Nomura, K. (2018c). "Removal of small parasite peaks in powder diffraction by a multiple deconvolution method," *Powder Diffr.* **33**, 108–114.
- Toraya, H. (1998). "Weighting scheme for the minimization function in Rietveld refinement," J. Appl. Cryst. 31, 327–332.